

霧島山の火山活動解説資料（平成 27 年 7 月）

福岡管区气象台
火山監視・情報センター
鹿児島地方气象台

新燃岳

新燃岳火口直下を震源とする火山性地震は時々発生しました。

GNSS¹⁾ 連続観測によると、新燃岳の北西数kmの地下深くにあると考えられるマグマだまりの膨張を示す地殻変動は、2013年12月頃から伸びの傾向が見られていましたが、2015年1月頃から停滞しています。

新燃岳では火口周辺に影響のある小規模な噴火が発生する可能性がありますので、新燃岳火口から概ね 1 km の範囲では、噴火に伴う弾道を描いて飛散する大きな噴石に警戒してください。

風下側では火山灰だけでなく小さな噴石が風に流されて降るおそれがあるため注意してください。降雨時には、泥流や土石流に注意してください。

平成 25 年 10 月 22 日に火口周辺警報（噴火警戒レベル 2、火口周辺規制）を発表しました。その後、警報事項に変更はありません。

○ 7 月の活動概況

・噴煙など表面現象の状況（図 1、図 3-①④）

噴煙活動は、6 日に白色の噴煙が火口縁上 400m まで上がりました。これ以外に火口縁を超える噴煙は認められませんでした。

・地震や微動の発生状況（図 2、図 3-②⑤）

火山性地震は時々発生し、月回数は 30 回（6 月：24 回）でした。震源は、新燃岳付近のごく浅いところに分布しました。

火山性微動は観測されませんでした（6 月：なし）。

・地殻変動の状況（図 4～7）

GNSS 連続観測によると、新燃岳の北西数kmの地下深くにあると考えられるマグマだまりの膨張を示す地殻変動は、2013 年 12 月頃から伸びの傾向が見られていましたが、2015 年 1 月頃から停滞しています。

1) GNSS (Global Navigation Satellite Systems) とは、GPSをはじめとする衛星測位システム全般を示す呼称です。

この火山活動解説資料は福岡管区气象台ホームページ (<http://www.jma-net.go.jp/fukuoka/>) や気象庁ホームページ (<http://www.data.jma.go.jp/svd/vois/data/tokyo/volcano.html>) でも閲覧することができます。次回の火山活動解説資料（平成 27 年 8 月分）は平成 27 年 9 月 8 日に発表する予定です。

この資料は気象庁のほか、国土地理院、東京大学、九州大学、鹿児島大学、国立研究開発法人防災科学技術研究所、宮崎県及び鹿児島県のデータも利用して作成しています。

資料中の地図の作成に当たっては、国土地理院長の承認を得て、同院発行の『数値地図 50mメッシュ（標高）』『基盤地図情報』『基盤地図情報（数値標高モデル）』を使用しています（承認番号：平 26 情使、第 578 号）。



図 1 霧島山（新燃岳） 噴煙の状況（7月6日、韓国岳遠望カメラによる）

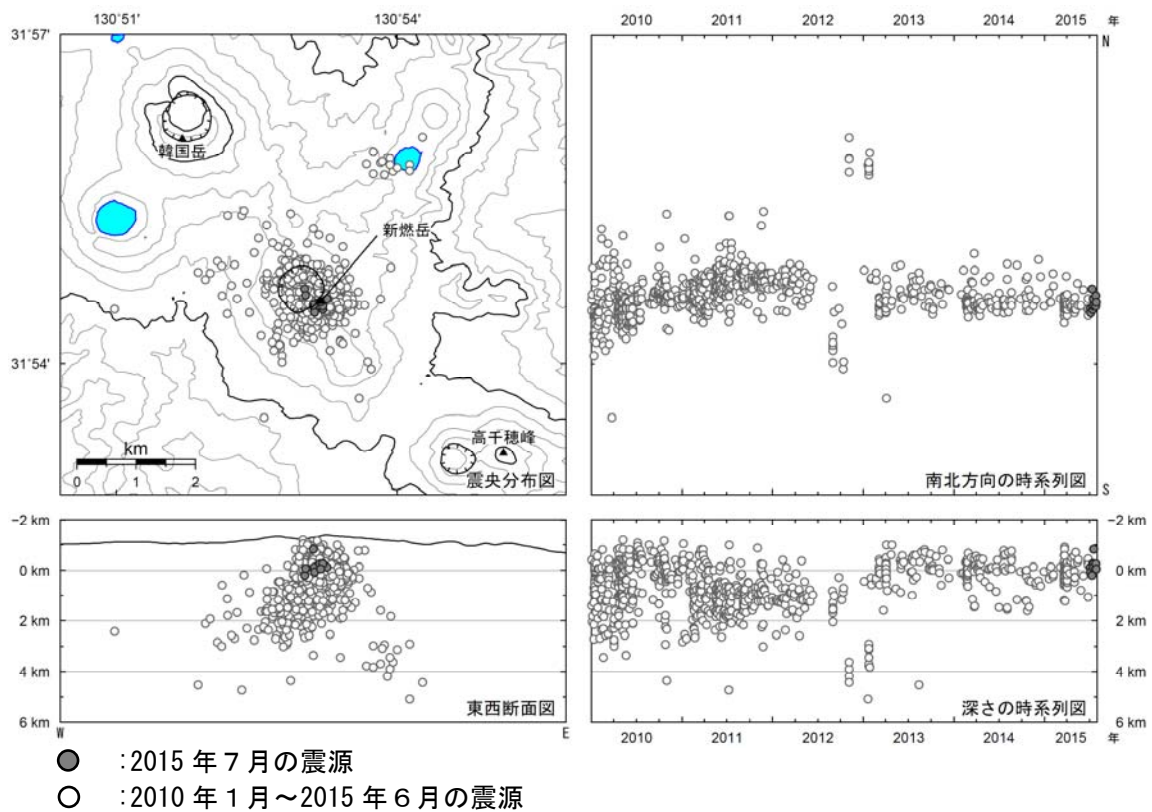


図 2 霧島山（新燃岳） 震源分布図（2010年1月～2015年7月）

< 7月の状況 >

震源は、新燃岳付近のごく浅いところに分布しました。

※新燃岳付近の震源のみ図示しています。

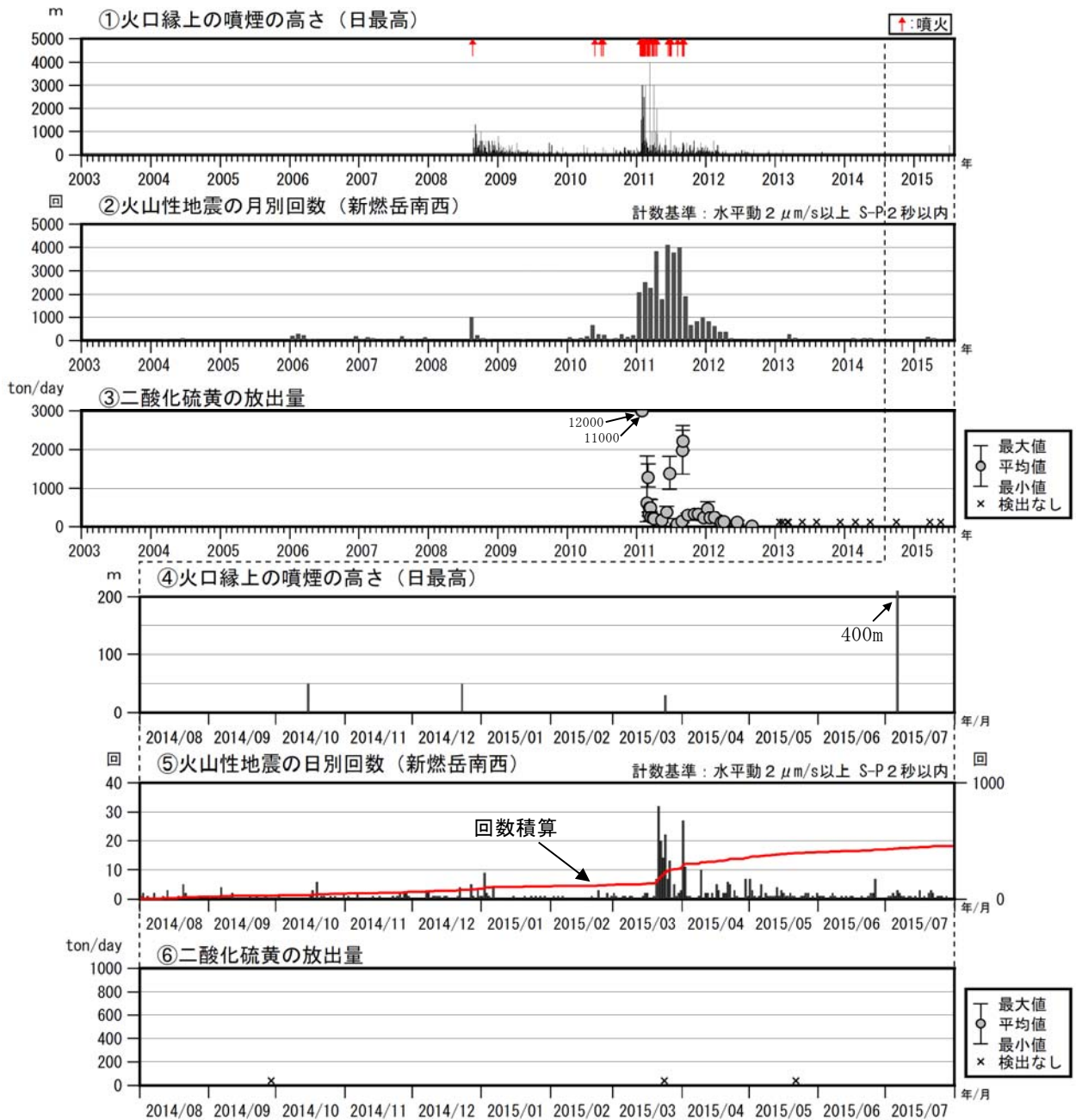


図3 霧島山（新燃岳） 火山活動経過図（2003年1月～2015年7月）

< 7月の状況 >

- ・ 6日に白色の噴煙が火口縁上 400mまで上がりました。これ以外に火口縁を超える噴煙は認められませんでした。
- ・ 火山性地震の月回数は30回（6月：24回）と少ない状態で経過しました。

③、⑥の×印は、二酸化硫黄が検出されなかったことを示しています。

2011年6月16日～2012年2月17日の期間は、新燃岳南西観測点の障害のため、新燃西（震）観測点及び霧島南（震）観測点で計数しています。（震）：東京大学地震研究所

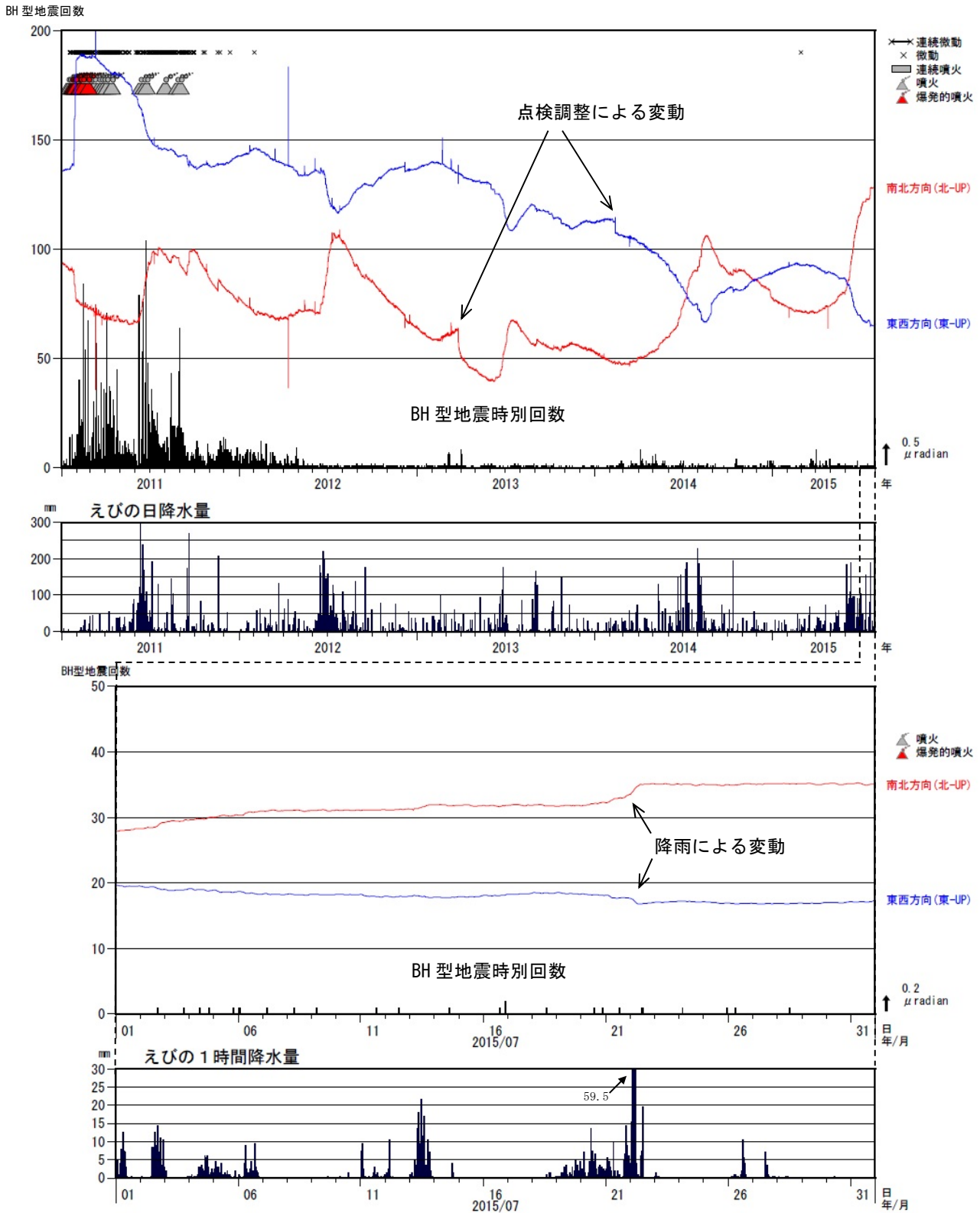


図4 霧島山（新燃岳） BH型地震の時間別回数と高千穂河原傾斜計の傾斜変動（2011年1月～2015年7月）

< 7月の状況 >

傾斜計では、火山活動によると考えられる変化は認められませんでした。

2011年6月上旬～7月上旬、9月中旬及び11月中旬、2012年6月上旬～7月上旬、2013年6月上旬～9月上旬、10月下旬、2014年7月下旬～9月、2015年6月の傾斜変化は、降水等の気象条件の影響も含まれます。

霧島山周辺 地殻変動連続観測基線図

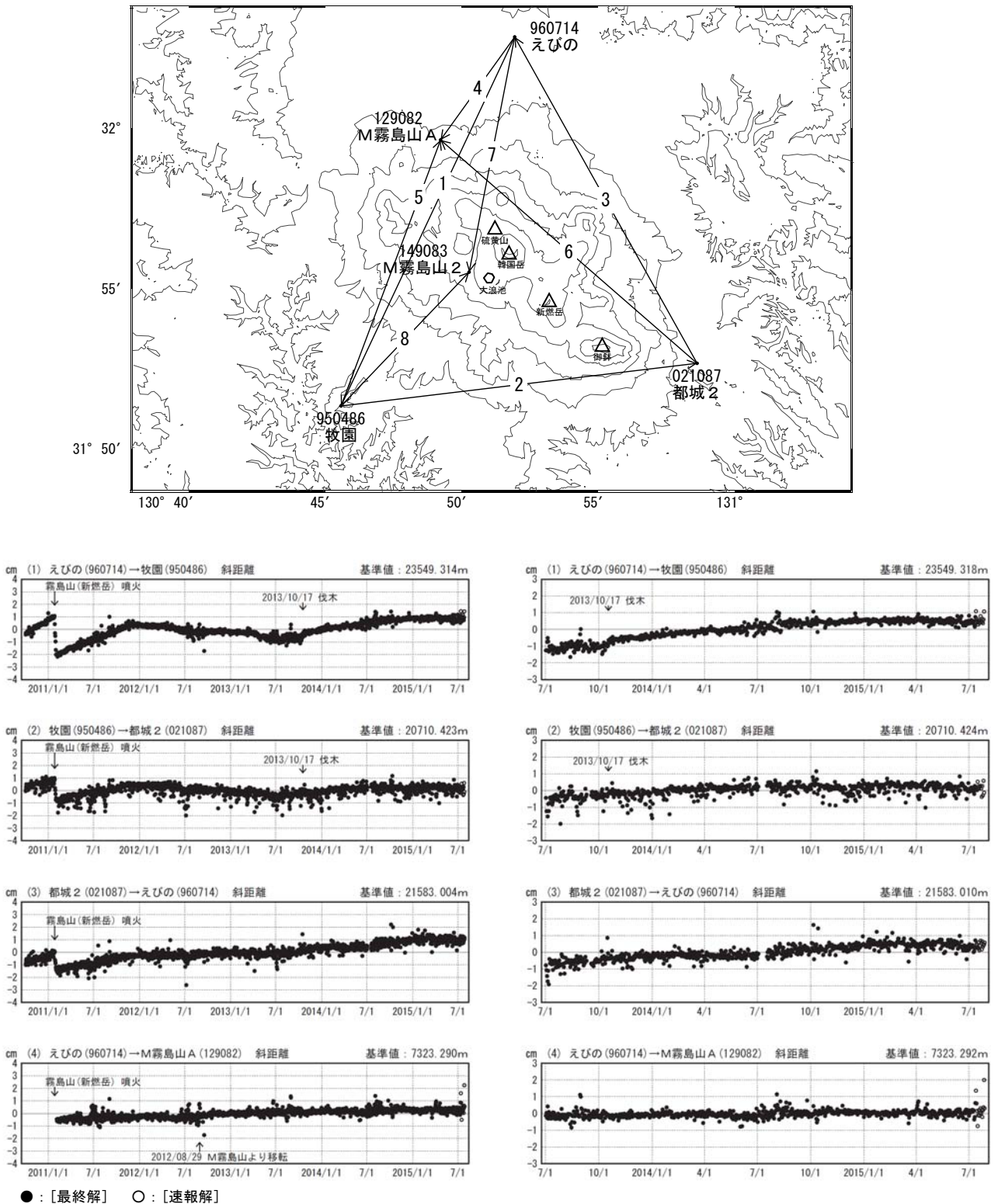


図5 霧島山（新燃岳） 国土地理院による広域的な地殻変動観測結果*
 (2010年10月1日～2015年7月27日)

霧島山周辺の「えびの」－「牧園」基線では、2013年12月頃から伸びの傾向が見られていましたが、2015年1月頃から停滞しています。

* 最終解（グラフ中黒丸）は国際的なGNSS観測機関（IGS）が計算したGNSS衛星の最終の軌道情報（精密暦）で解析した結果で、最も精度の高いものです。速報解（グラフ中白丸）は速報的な軌道情報による解析結果で、最終解に比べ精度は若干下がりますが、早期に解を得ることができます。

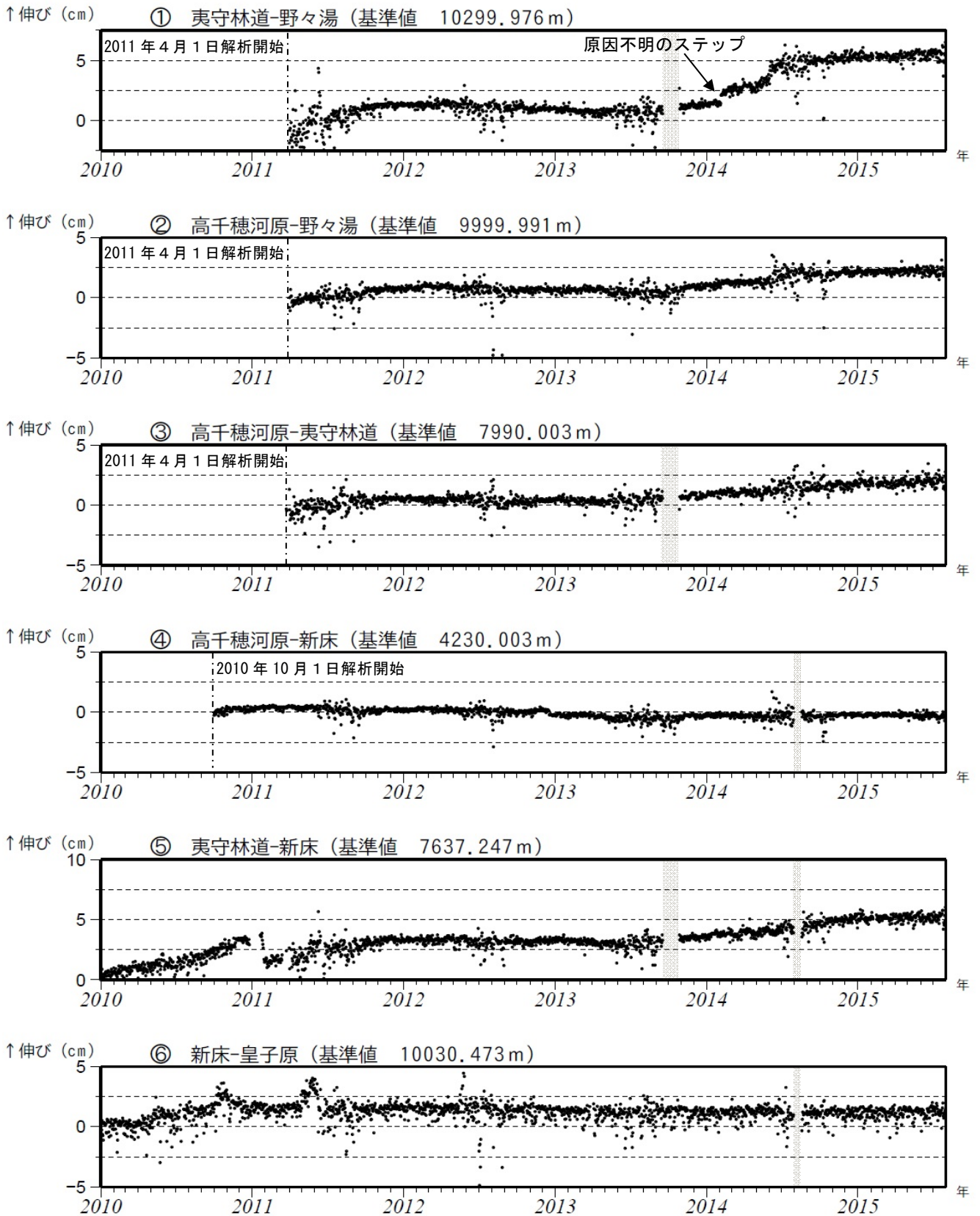


図 6-1 霧島山 GNSS 連続観測による基線長変化 (2010 年 1 月～2015 年 7 月)

新燃岳周辺およびえびの高原 (硫黄山) 周辺の一部の基線 (図の①、②、③、⑤) では、2013 年 12 月頃から伸びの傾向が見られていましたが、2015 年 1 月頃から停滞しています。

これらの基線は図 7 の①～⑥に対応しています。
 2010 年 10 月以降のデータについては、電離層の影響を補正する等、解析方法を改良しています。
 灰色の部分は機器障害のため欠測を示しています。

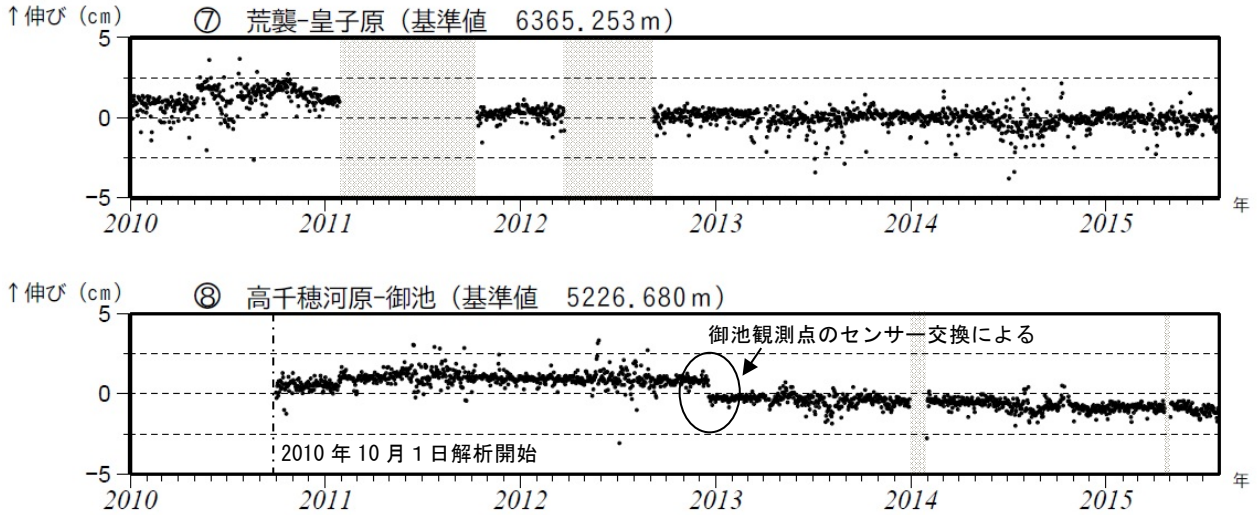


図 6-2 霧島山 GNSS 連続観測による基線長変化（2010 年 1 月～2015 年 7 月）

これらの基線は図 7 の⑦⑧に対応しています。
 2010 年 10 月以降のデータについては、電離層の影響を補正する等、解析方法を改良しています。
 灰色の部分は機器障害のため欠測を示しています。

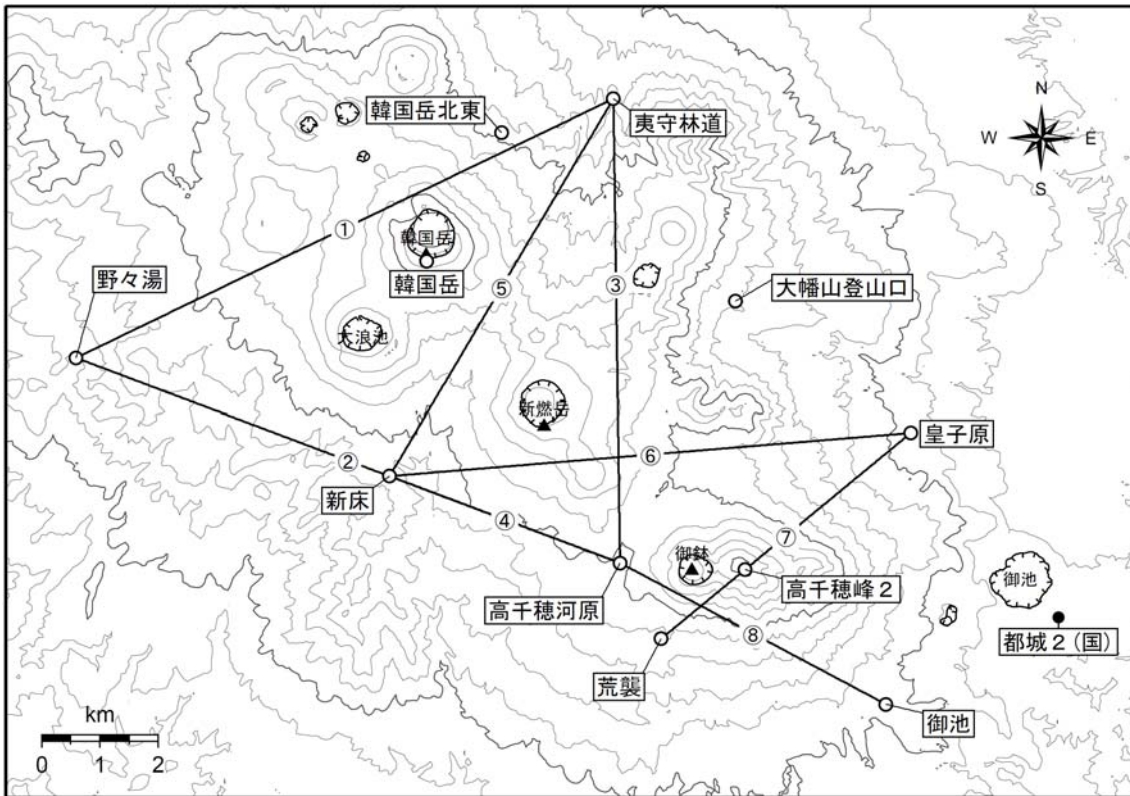


図 7 霧島山 GNSS 連続観測点と基線番号

小さな白丸 (○) は気象庁、小さな黒丸 (●) は気象庁以外の機関の観測点位置を示しています。
 (国)：国土地理院

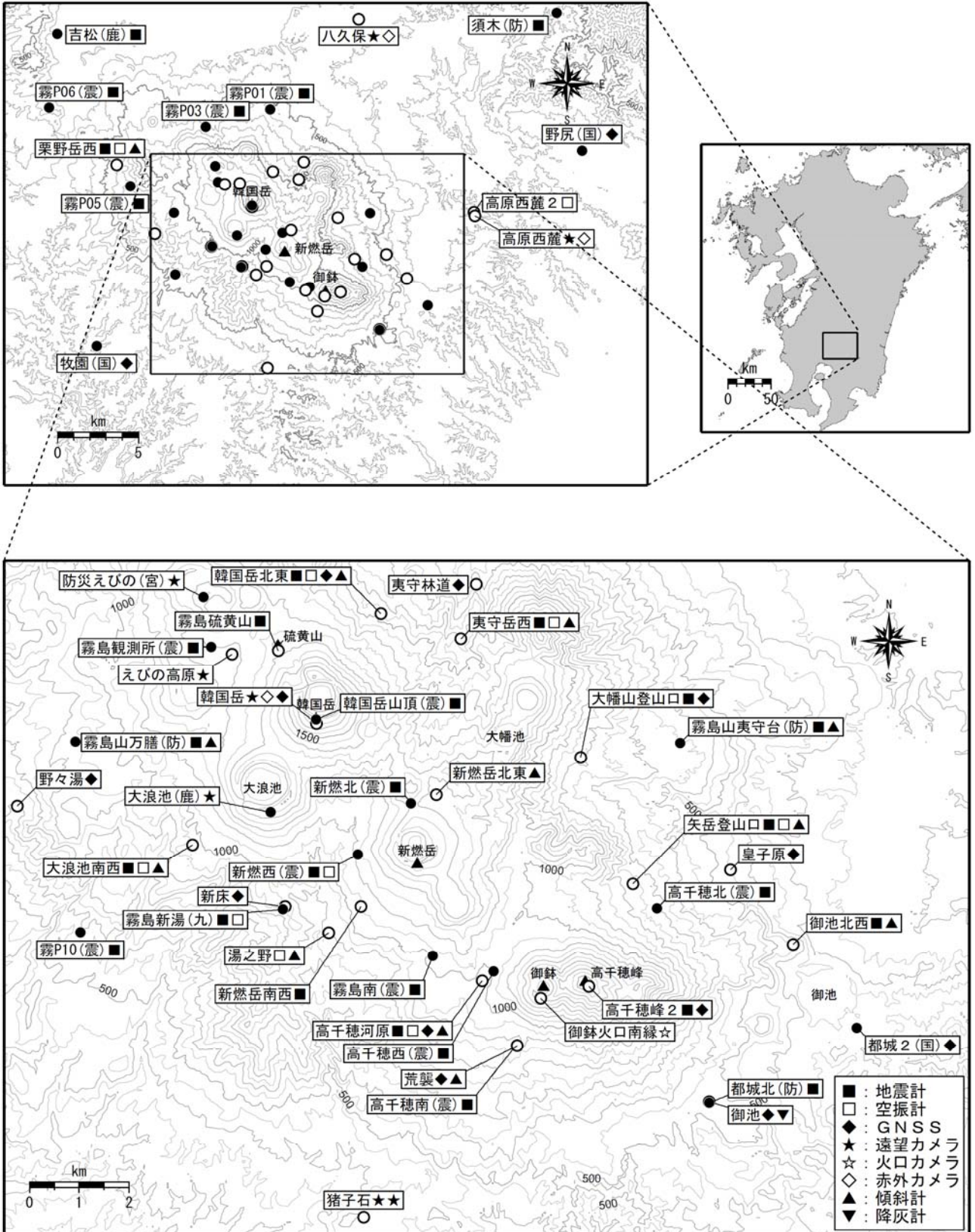


図 8 霧島山 観測点配置図

小さな白丸（○）は気象庁、小さな黒丸（●）は気象庁以外の機関の観測点位置を示しています。
 (国)：国土地理院、(防)：防災科学技術研究所、(震)：東京大学地震研究所
 (九)：九州大学、(鹿大)：鹿児島大学、(宮)：宮崎県、(鹿)：鹿児島県

御 鉢

火山活動に特段の変化はなく、静穏に経過しており、噴火の兆候は認められません。
霧島山（御鉢）は活火山であることに留意してください。
噴火予報（噴火警戒レベル 1、活火山であることに留意）の予報事項に変更はありません。

○ 7月の活動概況

・噴煙など表面現象の状況（図 9、図 11-①）

火口縁を超える噴煙は認められませんでした。

・地震や微動の発生状況（図 10、図 11-②～④）

火山性地震は 16 回で前月（6 月：5 回）と比べて増加しました。震源は、御鉢付近の海拔 0 km 付近に分布しました。

火山性微動は観測されませんでした（6 月：なし）。

・地殻変動の状況（図 5～7）

GNSS 連続観測では、火山活動によると考えられる変化は認められませんでした。



図 9 霧島山（御鉢） 御鉢の状況（7月24日、猪子石遠望カメラによる）

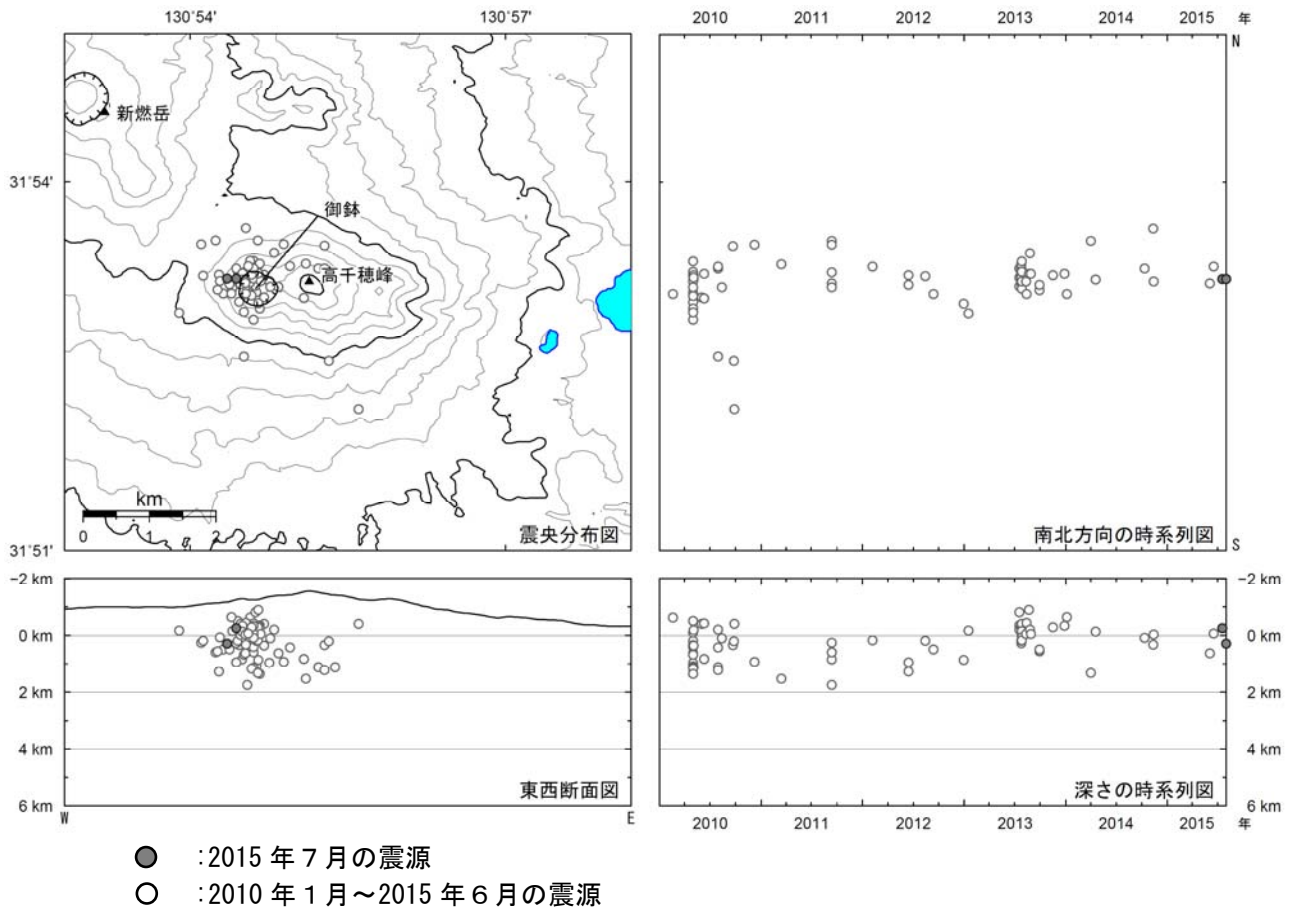


図 10 霧島山（御鉢） 震源分布図（2010 年 1 月～2015 年 7 月）

< 7 月の状況 >

震源は、御鉢付近の海拔 0 km 付近に分布しました。

※御鉢付近の震源のみ図示しています。

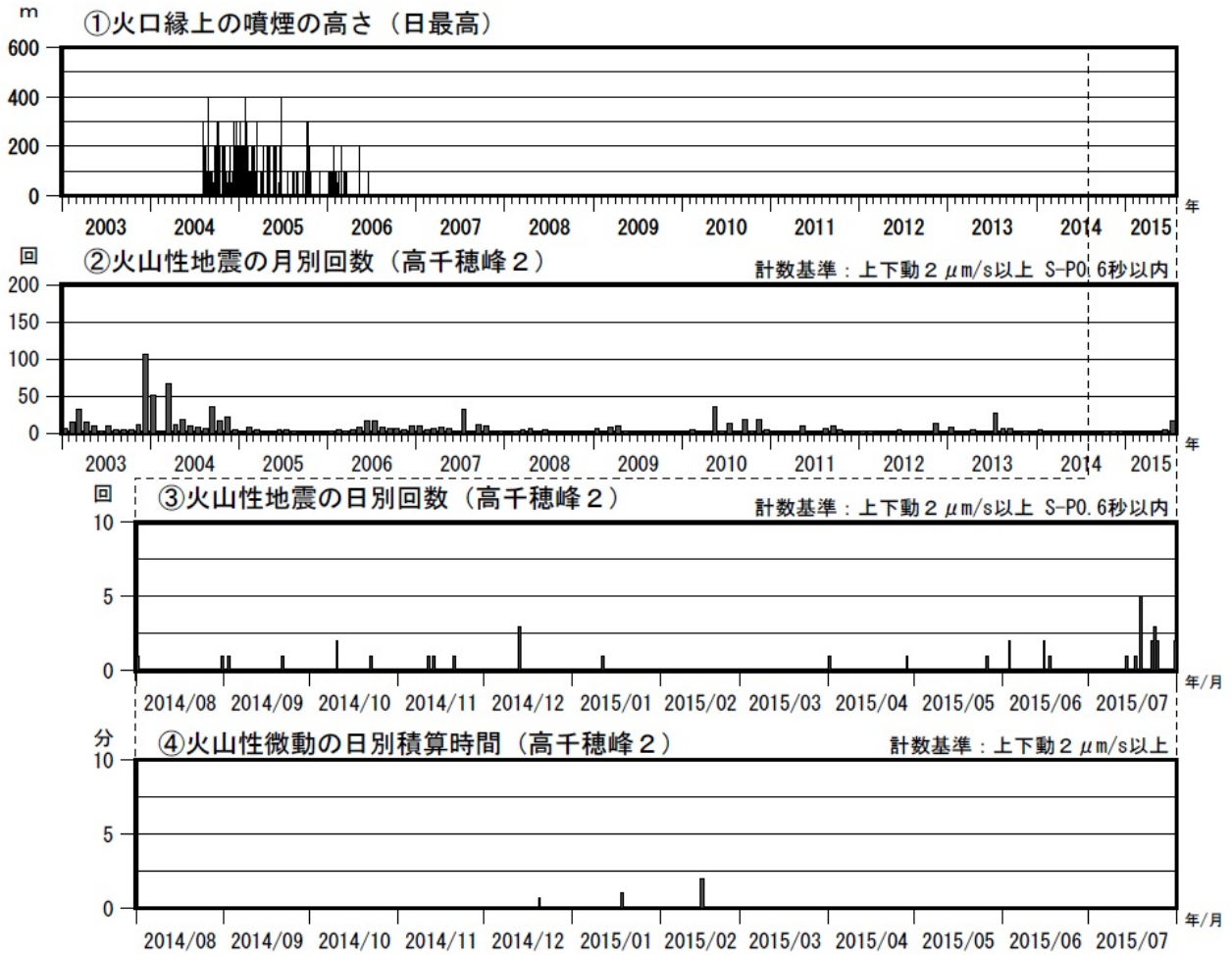


図 11 霧島山（御鉢） 火山活動経過図（2003 年 1 月～2015 年 7 月）

< 7 月の状況 >

- ・火口縁を超える噴煙は認められませんでした。
- ・火山性地震は 16 回で前月（6 月：5 回）と比べて増加しました。
- ・火山性微動は観測されませんでした（6 月：なし）。

2011 年 3 月 1 日から 2013 年 8 月 31 日までは高千穂峰の地震計が障害のため、高千穂西（震）及び高千穂河原で計数しています。

えびの高原（硫黄山）周辺

火山性地震が 5 日と 26 日に増加しました。

26 日 09 時 23 分に継続時間が約 2 分 30 秒の火山性微動が発生しました。火山性微動の発生に伴い傾斜計で硫黄山の北西が隆起するような変動が観測されました。硫黄山周辺では噴気は認められず、全磁力繰り返し観測でも、地下の熱活動の高まりは認められませんでした。

えびの高原（硫黄山）周辺は活火山であることに留意してください。

噴火予報（活火山であることに留意）の予報事項に変更はありません。

○ 7 月の活動概況

・噴煙など表面現象の状況（図 12）

えびの高原（硫黄山）周辺では、噴気は認められませんでした。

6 日、27 日、28 日に実施した現地調査では、硫黄山及びその周辺では噴気は認められませんでした。また、地表面の変化も認められませんでした。

・地震や微動の発生状況（図 13～16）

火山性地震は 5 日と 26 日に増加し、月回数は 60 回で前月（6 月：18 回）と比べて増加しました。震源は、韓国岳北東側の海拔下 0～1 km 付近に分布しました。

26 日 09 時 23 分に継続時間が約 2 分 30 秒の火山性微動が発生しました。この周辺で火山性微動が発生したのは 2014 年 8 月 20 日以来です。

・地殻変動の状況（図 5～7、図 15、図 16）

26 日 09 時 23 分の火山性微動に伴い、傾斜計で硫黄山の北西が隆起するような変動が観測されました。

GNSS 連続観測によると、2013 年 12 月頃から、えびの高原（硫黄山）周辺の一部の基線でみられた伸びの傾向は、2015 年 1 月頃から停滞しています。



図 12 霧島山（えびの高原（硫黄山）周辺） 硫黄山付近の状況
（7 月 24 日、えびの高原カメラによる）

・全磁力の状況（図 17、図 18）

27 日、28 日に実施した全磁力繰り返し観測では、火山活動によると考えられる特段の変化は認められませんでした。

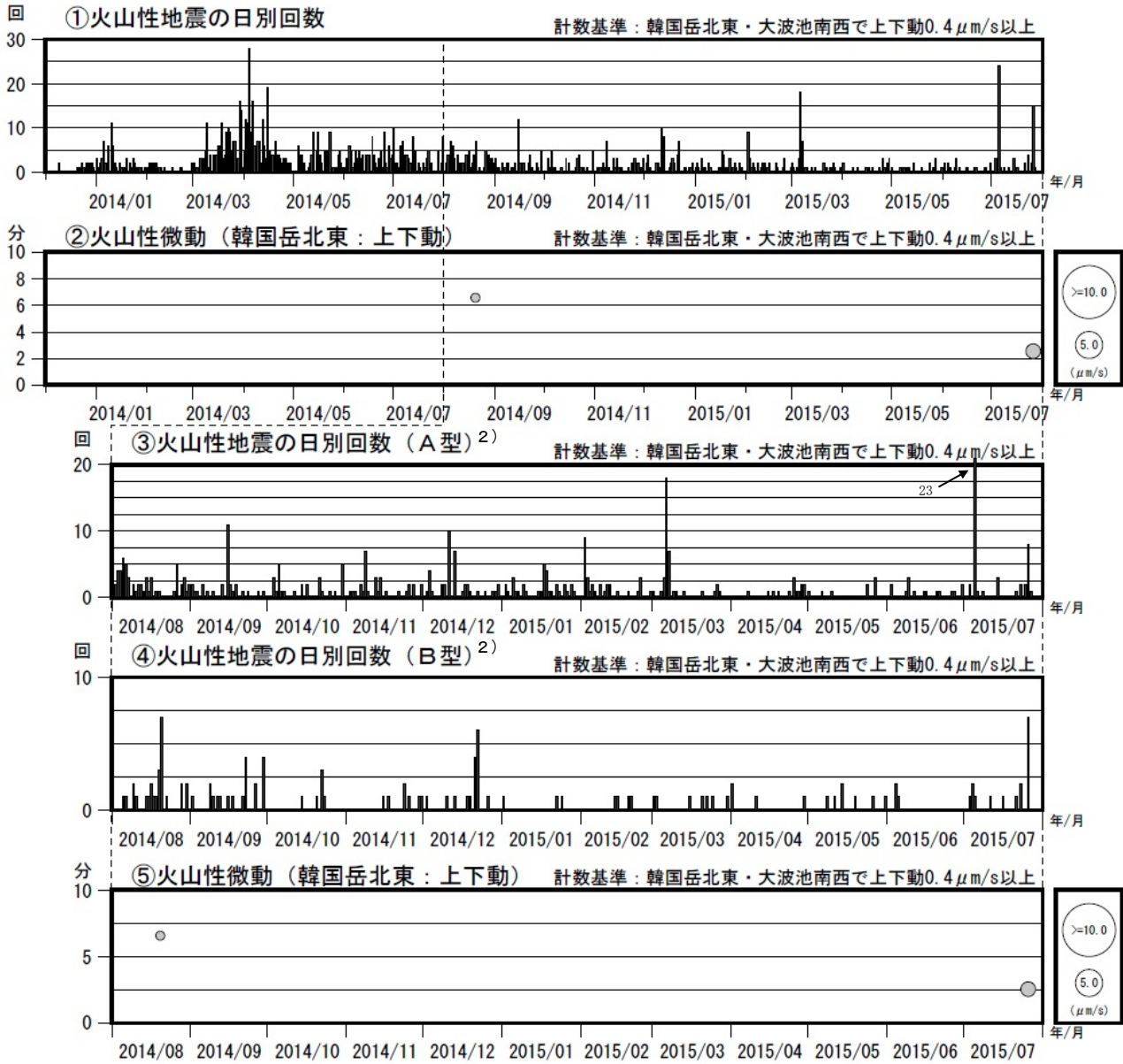


図 13 霧島山（えびの高原（硫黄山）周辺） 火山活動経過図（2013 年 12 月～2015 年 7 月）

< 7 月の状況 >

- ・火山性地震は 60 回で前月（6 月：18 回）と比べて増加しました。
- ・26 日 09 時 23 分に継続時間が約 2 分 30 秒の火山性微動が発生しました。

2) 火山性地震のうち、A 型地震は P 波、S 波の相が明瞭で比較的周期の短い地震で、一般的に起こる地震と同様、地殻の破壊によって発生していると考えられ、マグマの貫入に伴う火道周辺の岩石破壊によって発生していることが知られています。また、B 型地震は相が不明瞭で、比較的周期が長く、火口周辺の比較的浅い場所で発生する地震で、火道内のガスの移動やマグマの発泡などにより発生すると考えられています。

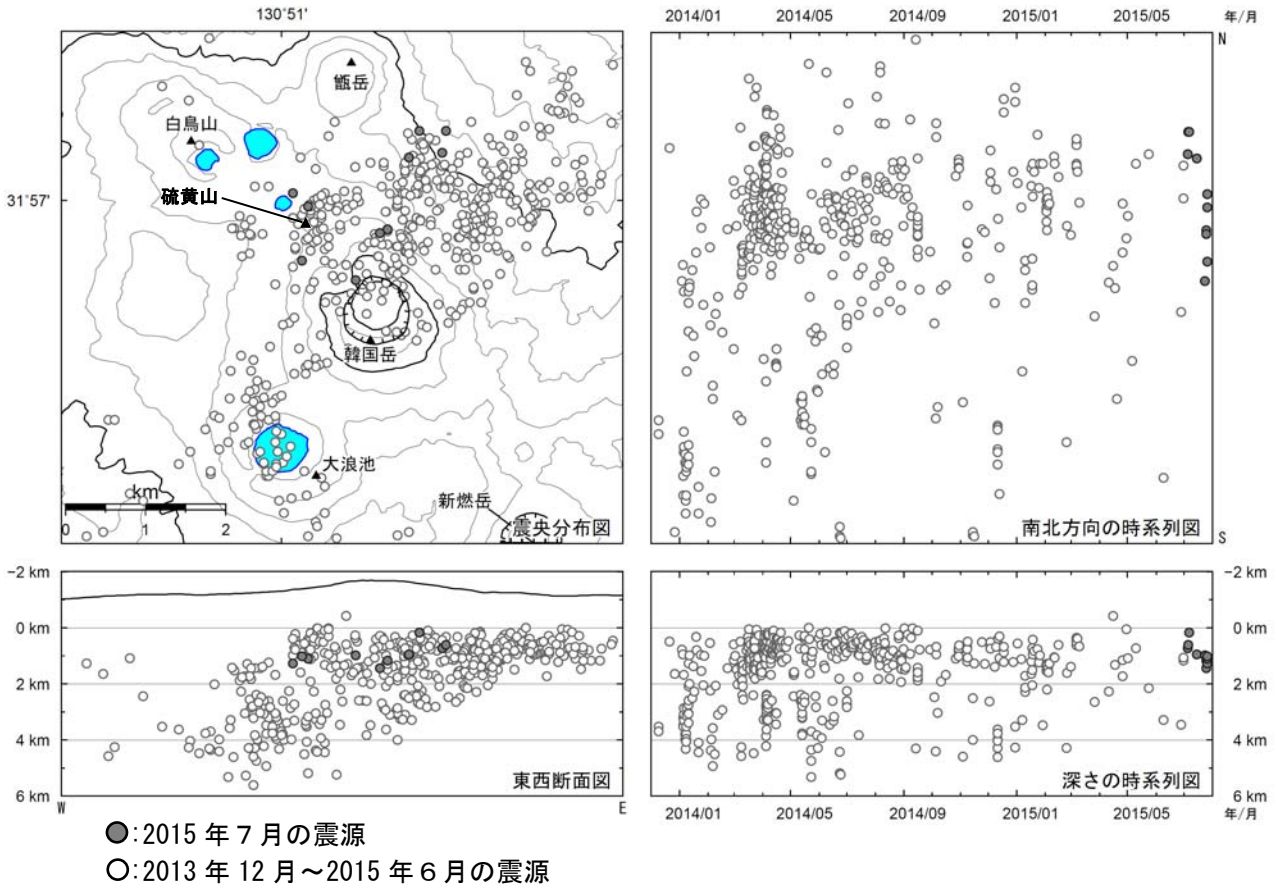


図 14 霧島山（えびの高原（硫黄山）周辺） 震源分布図（2013 年 12 月～2015 年 7 月）

< 7 月の状況 >

震源は、韓国岳北東側の海拔下 0～1 km 付近に分布しました。

※えびの高原（硫黄山）周辺の震源のみを図示しています。

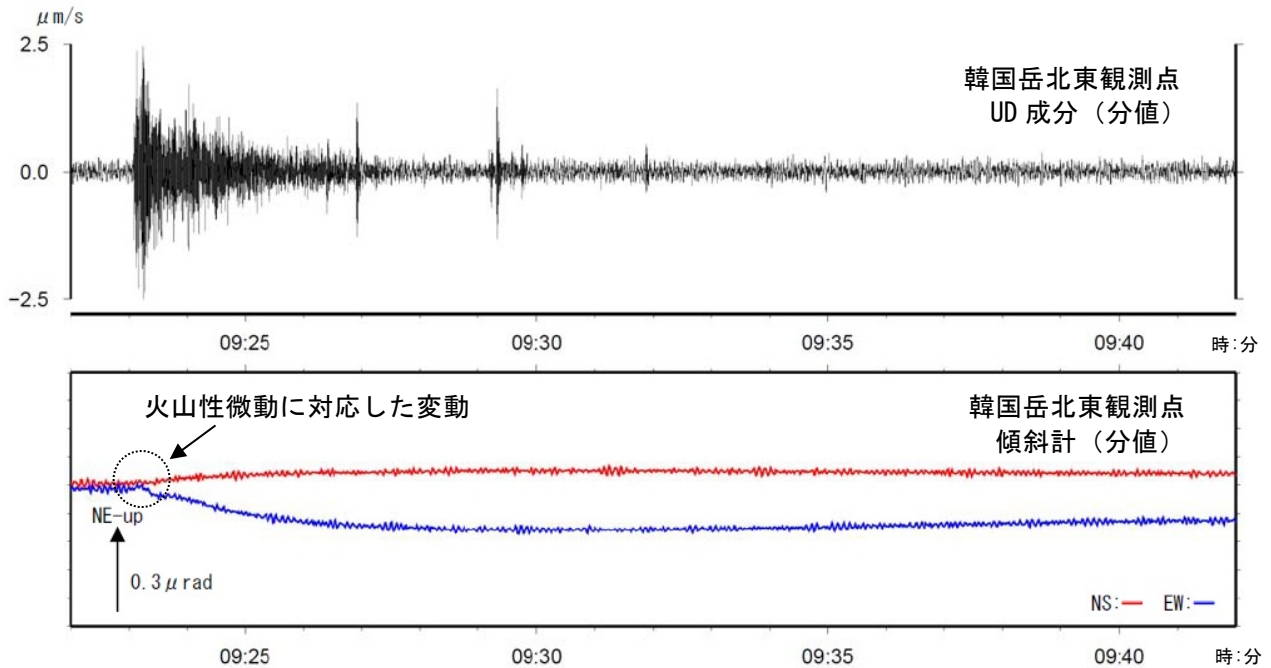


図 15 霧島山 震動波形と傾斜変動（26 日 09 時 22 分～09 時 42 分）

26 日 09 時 23 分に継続時間が約 2 分 30 秒の火山性微動を観測しました。この微動に伴い、傾斜計で硫黄山の北西が隆起するような変動が観測されました。

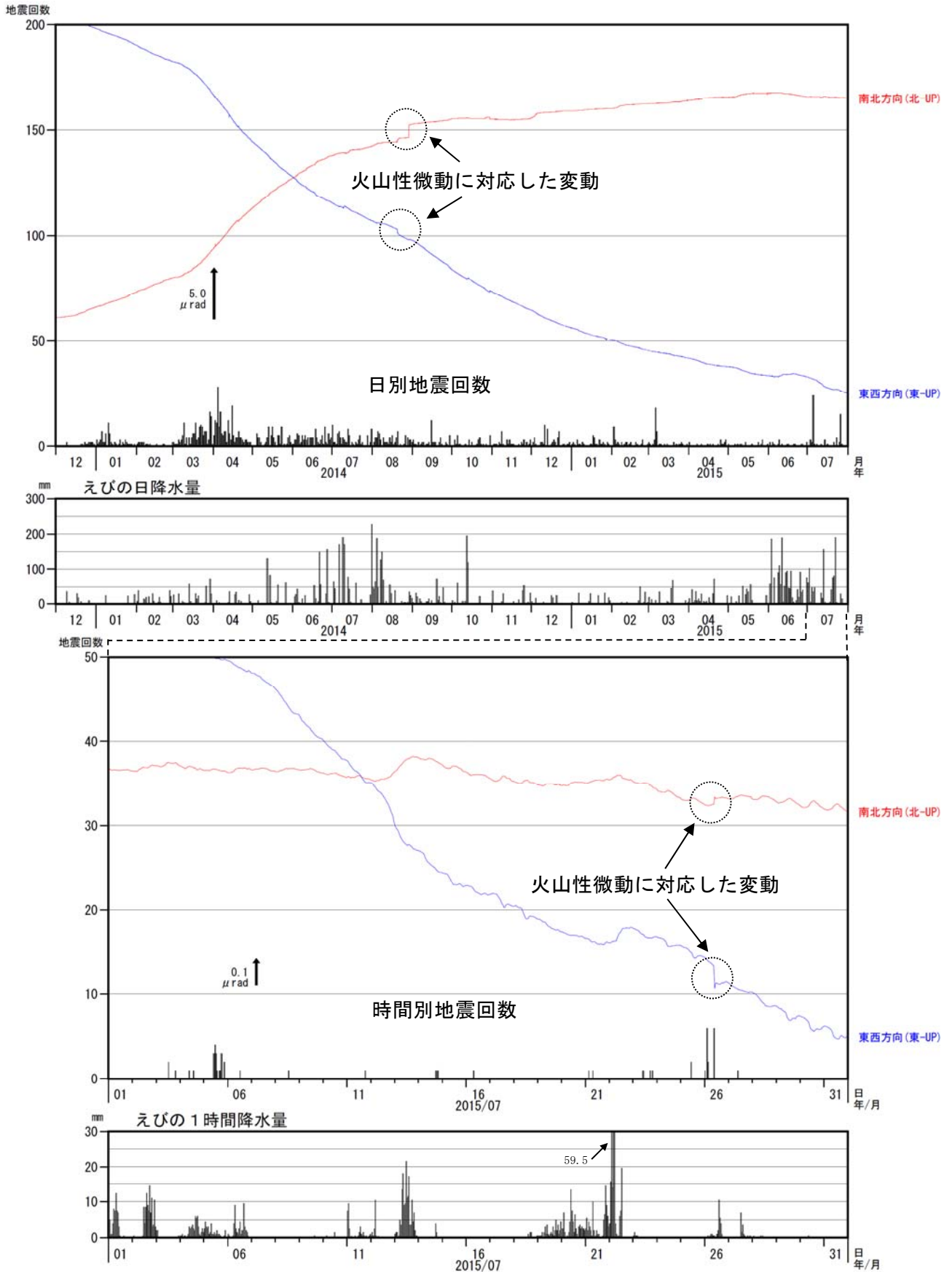


図 16 霧島山（えびの高原（硫黄山）周辺）地震回数と韓国岳北東傾斜計の傾斜変動（時間値）（2013 年 12 月～2015 年 7 月）

< 7 月の状況 >

26 日 09 時 23 分に発生した微動に伴い、傾斜計で硫黄山の北西が隆起するような変動が観測されました。

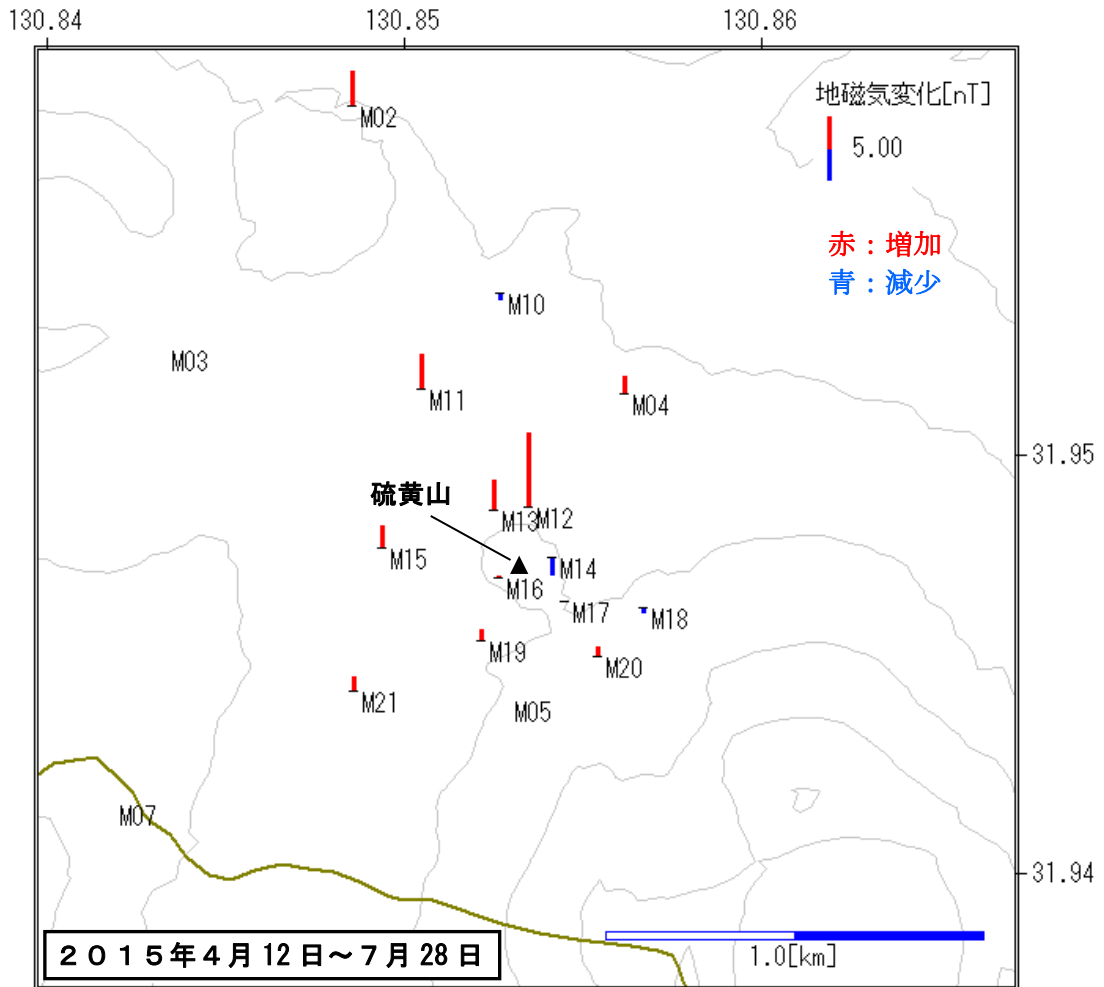


図 17 霧島山（えびの高原（硫黄山周辺）繰り返し観測による全磁力の変化（えびの高原周辺 2015 年 4 月 12 日～7 月 28 日）

火山活動によると考えられる特段の変化は認められませんでした。

nT（ナノテスラ）は磁場の強さを表す単位です。

〔補足〕 火山体周辺の全磁力変化と火山体内部の温度変化

- | | | | |
|----------------------|------|---|----------------------------|
| 北側の観測点で 全磁力増加 | [消磁] | ➡ | 火山体内部の 温度上昇 を示唆する変化 |
| 南側の観測点で 全磁力減少 | | | |
| 北側の観測点で 全磁力減少 | [帯磁] | ➡ | 火山体内部の 温度低下 を示唆する変化 |
| 南側の観測点で 全磁力増加 | | | |

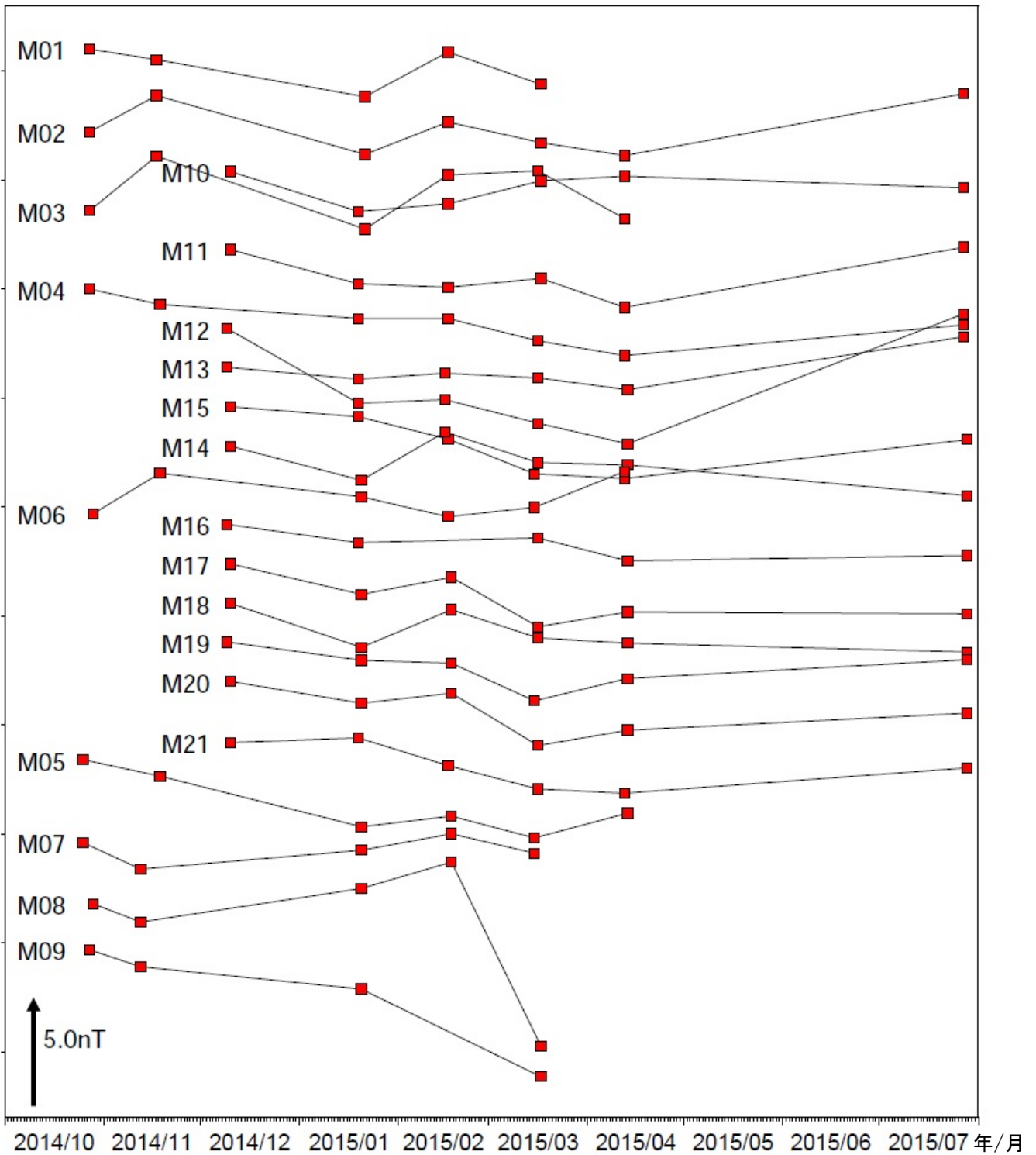


図 18 霧島山（えびの高原（硫黄山）周辺） 繰返し観測による全磁力時系列変化

火山活動によると考えられる特段の変化は認められませんでした。

nT（ナノテスラ）は磁場の強さを表す単位です。